

曲線ウェブの有限変形解析

○東北学院大学 正員 橋渡 滋
東北大学 正員 倉西 茂
中部地建 正員 岡部 安水

曲線プレートガーダーが曲げ作用を受ける場合、そのウェブは面外に曲率を有するために、直線プレートガーダーの場合とは異った挙動を示すと思われる。すなわち、ウェブに作用する曲げ圧縮応力が、曲率の存在によってウェブに曲げ応力を生じさせ、それがウェブの面外へのたわみを進行させるため、座屈強度が低下することが予想される。

本研究は、曲線プレートガーダーのウェブを円筒パネルとみなし、その円周方向へ曲げ応力が作用した場合について、幾何学的な非線形問題として解析したものである。ウェブは等方性弾性材料で構成されているものとし、材料的な非線形性は考慮されていない。解析は浅いシェルの理論(shallow shell theory)に基づいて、有限要素法を用いて行なわれた。

円筒パネルは四辺とも面外変位が拘束され、回転は自由であり、非載荷辺では面内変位も拘束されているとのとする(fig-1)。円筒要素をfig-2に示す。変位関数は次のものを採用した。⁽¹⁾

$$u = \alpha_1 + \alpha_2 \xi + \alpha_3 \eta + \alpha_4 \xi \eta$$

$$v = \alpha_5 + \alpha_6 \xi + \alpha_7 \eta + \alpha_8 \xi \eta$$

$$w = \alpha_9 + \alpha_{10} \xi + \alpha_{11} \eta + \alpha_{12} \xi^2 + \alpha_{13} \xi \eta + \alpha_{14} \eta^2 + \alpha_{15} \xi^3 + \alpha_{16} \xi^2 \eta + \alpha_{17} \xi \eta^2 + \alpha_{18} \eta^3 + \alpha_{19} \xi^3 \eta + \alpha_{20} \xi \eta^3$$

計算に用いられた断面の定数は次の通りである。

ヤング率 $E = 2.1 \times 10^6 \text{ kg/cm}^2$

ボアソン比 $\nu = 0.3$

板厚 $t = 0.5 \text{ cm}$

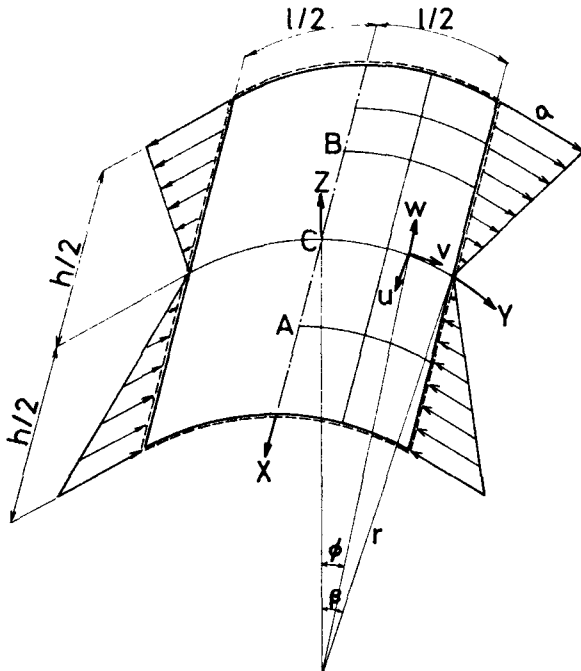


fig-1 Cylindrical Shell

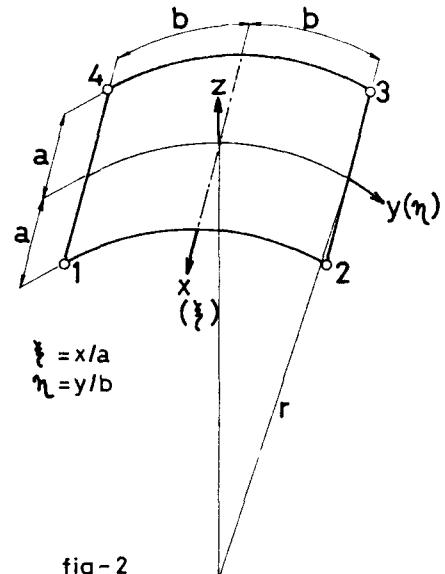


fig-2 Element of Cylindrical Shell

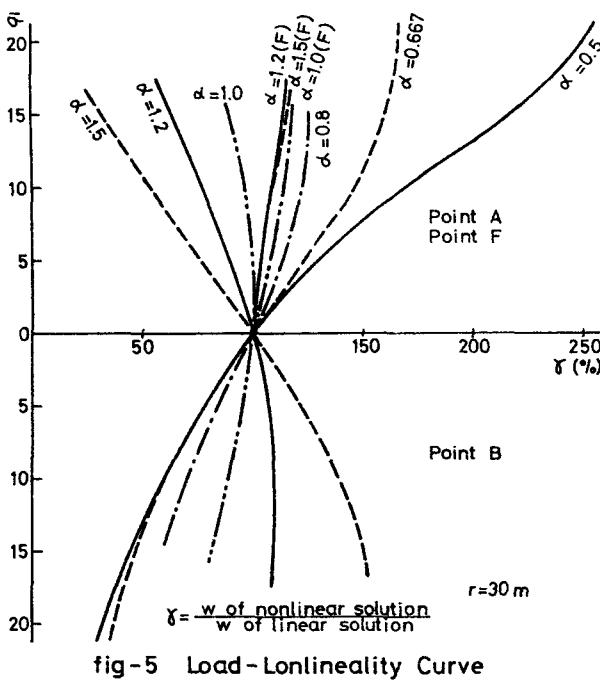
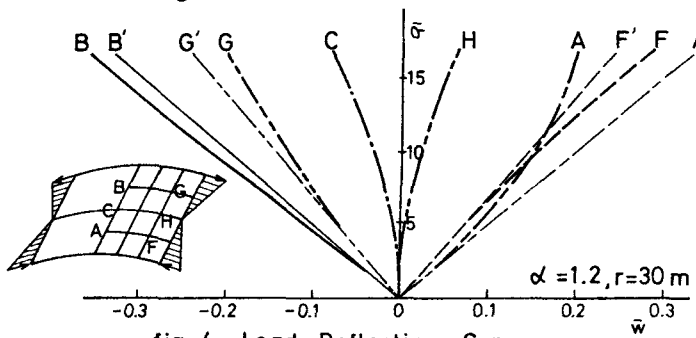
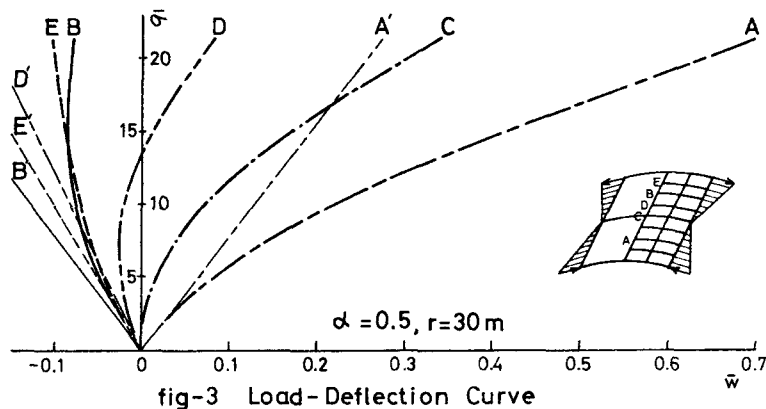
巾厚比 $\lambda = R/t = 240$
 曲率半径 $r = 30 \text{ m}$
 辺長比 $\alpha = l/R$
 $= 0.5, 0.667, 0.8, 1.0,$
 1.5

さらに、曲率半径の非線形性への影響を調べるために $\alpha = 0.667$ の場合のみ、
 $r = 30 \text{ m}$ の他に $r = 60 \text{ m}$ 、
 120 m についても解析した。
 非線形方程式の不つりあい
 力の収束条件の判定精度を
 0.5% とした。

今回は主として面外のたわみについて報告する。
 $\alpha = 0.5, 1.2$ の場合の荷重-たわみ曲線を fig-3, 4 に示す。図の横軸は
 $\bar{w} = w/t$ 、縦軸は $\bar{\sigma} = \sigma/\sigma_c$ として無次元化されている。

[$\sigma_c = \pi D^2/R^2 t$, $D = E t^3/(2(1-\nu^2))$]
 図中、細線 (A' , B' , ...) は線形解を示している。辺長比 α の差による非線形性への影響、たわみ形の違い等を推測できる。

fig-5 は、 α をパラメータとして A 点、B 点および F 点 (fig-4) について 荷重と $\gamma = w(\text{非線形解})/w(\text{線形解})$ の関係をあらわしたものである。



(1) C.Brebbia and J.Connor,"Geometrically nonlinear finite-element analysis", Proc. ASCE,95,EM2,pp.463-483(1969)